

## 重组人 $\alpha 8$ 型干扰素的纯化与鉴定

郭嘉 陆峰 金永明 瞿卉 吴丹 陆德如

(第二军医大学基础部分子遗传教研室 上海 200433)

**摘要** 采用酵母表达载体进行重组人  $\alpha 8$  型干扰素(HuIFN- $\alpha 8$ )的表达,该表达菌株可将重组  $\alpha 8$  型干扰素分泌进入培养基中,回收培养基进行纯化,然后利用超滤浓缩,先过 S. Sepharose FF 柱,再进行 DEAE Sepharose FF 层析和 G-25 脱盐,最后用高效液相 HPLC, SDS-PAGE 丙烯酰胺凝胶电泳及肽图等方法对纯化产品进行鉴定。采用以上两步纯化方法纯化酵母分泌表达的重组人  $\alpha 8$  型干扰素纯度可达 95% 以上,其比活性为  $3.0 \times 10^8$  u/mg。

**关键词** 重组人  $\alpha 8$  型干扰素,蛋白质纯化,肽图

人  $\alpha 8$  型干扰素(IFN- $\alpha 8$ )是干扰素中的一个亚型,它与  $\alpha D$ ,  $\alpha 2b$  等相比其同源性相差甚远,而与  $\alpha B$  干扰素仅差 5 个氨基酸,在体内含量也极少<sup>[1,2]</sup>。但对于抗疱疹病毒而言活性与  $\alpha D$  和  $\alpha 2b$  亚型干扰素相当甚至高于它们。IFN- $\alpha 8$  基因由复旦大学李育阳教授赠送,采用酵母表达载体进行建株,成功构建了人  $\alpha 8$ -干扰素基因载体,并转入酵母菌中进行分泌表达。

在抗病毒及抗肿瘤的研究中发现,天然干扰素是以多种亚型出现,尤其肿瘤初期,所以  $\alpha 8$ -干扰素作为干扰素家族的一员,是不可忽视的。

### 1 材料与方 法

#### 1.1 质粒和菌株

IFN- $\alpha 8$  基因及该基因的表达载体 PW172 均由武圣明教授在复旦大学遗传所李育阳教授实验室构建,酵母宿主菌株采用 BJ1991,由复旦大学遗传所李育阳教授赠送。

#### 1.2 酵母菌的发酵培养

发酵罐为美国 NBS 公司制造的 30 立升发酵罐,接种量为 1%。在 2ml 选择性培养基 YNB 中进行选种,放大到 30ml YNB 培养基中,再进一步将该菌种放大至 500ml 的 YNB 中并加入酪蛋白水解物,该菌液作为 30 立升大罐的菌种来源。首先使发酵罐内溶氧浓度平衡至 100%,然后提高转速至 200r/min,提高溶氧浓度 50% 饱和,于 30℃ 培养 30h,整个发酵过程中葡萄糖浓度保持在 10g/L 以上,使 OD<sub>600</sub> 达到 6。

#### 1.3 IFN- $\alpha 8$ 的纯化

S Sepharose Fast Flow, DEAE Sepharose Fast Flow 购自 Pharmacia 公司,中压层析装置为美国 Waters 公司的 650 系统,高效液相层析装置为 Waters 810 系统,泵为 510,柱为 Waters 公司 C<sub>8</sub>(10mm×15cm),超滤器为美国 Milipore 公司的 Pillocon 超滤器。

本文于 1995 年 8 月 8 日收到。

发酵液在 7000r/min 4℃ 离心, 收集发酵上清, 再进行除菌过滤, 滤液进行超滤浓缩, 膜截留分子量为 10000, 浓缩至 20 倍, 约为 1500ml, 将其通过 S Sepharose FF 柱, 洗脱液 A 为 20mmol/L  $\text{NH}_4\text{Ac}$  pH4, B 为 25mmol/L PBS pH7 进行 pH 梯度洗脱, 收集峰 2 命名为  $S_{20}$ , 再将  $S_{20}$  峰上 DEAE Sepharose FF 柱, 缓冲液 A 为 25mmol/L PBS, pH7, B 为 25mmol/L PBS 和 0.5mol/L NaCl, 然后进行线性梯度洗脱, 收集的活性峰上  $G_{25}$  柱脱盐, 收集活性成分得 IFN- $\alpha$  8, 再进行 HPLC 分析, 鉴定流动相为 0.08% TFA 的水, 和 0.08% TFA 的色谱纯乙腈, 流速为 1ml/min, 洗脱时间为 60min, 20% ~ 100% 的线性梯度。

#### 1.4 抗病毒活性检测

采用细胞病变抑制法进行测定<sup>[3]</sup>。在 96 孔细胞培养板上接种 WISH, 细胞在 37℃  $\text{CO}_2$  的培养箱中培养 24h 后加入 4 倍连续稀释的待测干扰素样品, 继续培养过夜, 用水泡性口炎病毒 (VSV) 攻击, 24h 后观察细胞病变情况。用保证半数细胞免于发生病变的稀释浓度所含的干扰素量作为 1 单位 (u) 并以国家卫生部生物制品鉴定所的标准干扰素核准成国际单位。蛋白含量采用 Lowry 法。

#### 1.5 SDS-聚丙烯酰胺凝胶电泳

按文献[7], 分离胶浓度为 15%, 浓缩胶浓度为 5%, 标准分子量参照蛋白购自华美公司。采用卡马氏亮蓝作为蛋白染色剂。用 Beckman UV68 紫外分光光度仪进行扫描。

#### 1.6 肽图分析

裂解方法<sup>[8]</sup>, 美国 Waters 公司的 810 系统的 HPLC, 用  $\text{C}_8$  反相柱, 波长为 214nm, AUFS 0.05 进行分析, 用 CNBr 进行裂解。约 100 $\mu\text{g}$  IFN- $\alpha$  8 冻干品, 加入 70% 甲酸, 再加 200 $\mu\text{g}$  溴化氰 (2 $\mu\text{mol}$ ), 总体积为 500 $\mu\text{l}$ , 充氮气, 避光反应 24 ~ 28h。加超纯水 1ml 搅匀, 冷冻抽干, 并重复 1 次。

## 2 结果

### 2.1 抗病毒活性

在相同条件下平行比较重组人 IFN- $\alpha$  8 和 IFN- $\alpha$  2b (古巴生产) 抗病毒活性结果 (如表 1 所示), 表中数据是 4 次重复测定的平均数。

可见同等蛋白量, 抗病毒活性 IFN- $\alpha$  8 比 IFN- $\alpha$  2b 高。

### 2.2 IFN- $\alpha$ 8 的纯化

本实验采用多步纯化可获得较高回收率的 IFN- $\alpha$  8, 比活性达  $3.0 \times 10^8$  IU/mg, 总回收率为 55% (表 2), 每步纯化的产物都进行了电泳分析 (见图 1), 我们已放大为每次处理 30L 发酵液的能力。

表 1 IFN- $\alpha$  8 和 IFN- $\alpha$  2b 的抗病毒活性比较  
Table 1 Comparison of the antiviral activity of IFN- $\alpha$  8 and IFN- $\alpha$  2b

Type of IFN	Antiviral activity/IU·mg <sup>-1</sup>
IFN- $\alpha$ 8	$3.0 \times 10^8$
IFN- $\alpha$ 2b	$0.9 \times 10^8$

### 2.3 纯化产物的鉴定

2.3.1 SDS-聚丙烯酰胺凝胶电泳: 图 2 为经过纯化的 IFN- $\alpha$  8 的 SDS-聚丙烯酰胺凝胶电泳图, 图中呈现单一清晰的 IFN- $\alpha$  8 条带, 分子量约为 24kDa, 与国外报道相似<sup>[5]</sup>, 未见任何杂蛋白带。凝胶的密度扫

表2 IFN- $\alpha$ 8的纯化Table 2 Purification of IFN- $\alpha$ 8

Produce	Activity/ $\text{u}\cdot\text{L}^{-1}\cdot 10^8$	Specific activity/ $\text{u}\cdot\text{mg}^{-1}$	Purification factor	Recovery / %
Culture	0.25	$2.1\times 10^4$	1	100
Diafiltration	4.90	$1.3\times 10^5$	6.2	98
S Sepharose FF	3.62	$7.1\times 10^6$	54	74
DEAE Sepharose FF	2.74	$2.8\times 10^8$	39	56
G-25	2.68	$3.0\times 10^8$	1	55

描表明, IFN- $\alpha$ 8 产品纯度达到 98%。电泳呈现分子量与迁移率不同的情况, 原因在于在 IFN- $\alpha$ 8 一级结构中 98-101 位的氨基酸影响了 IFN- $\alpha$ 8 的迁移, 使电泳带未落在按氨基酸分子量推算的 17kDa 的分子量位置<sup>[4,6]</sup>。

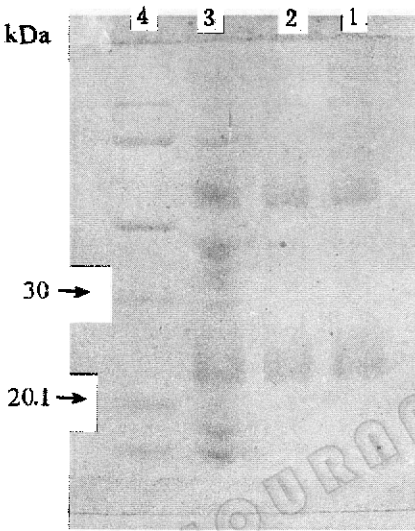


图1 IFN- $\alpha$ 8 纯化过程的 SDS-聚丙烯酰胺凝胶电泳图

Fig. 1 SDS-PAGE Pattern of the purification procedure of IFN- $\alpha$ 8

1. The sample is purified by S Sepharose FF, 2. The sample is purified by DEAE sepharose FF, 3. The culture is concentrated, 4. Molecular weight marker.

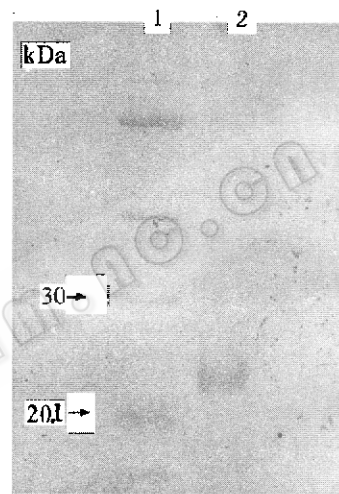


图2 IFN- $\alpha$ 8 纯品的 SDS-聚丙烯酰胺凝胶电泳图

Fig. 2 SDS-PAGE electrophoresis pattern of pure IFN- $\alpha$ 8

1. Marker of lower molecular weight, 2 Pure IFN- $\alpha$ 8

2.3.2 反相高效液相层析: 对纯化的 IFN- $\alpha$ 8 进行鉴定, 也表明样品中含有单一分子量的蛋白质, 保留时间为 19.8min, 用归一化法计算为 98.4%, 层析谱图见图 3。

2.3.3 IFN- $\alpha$ 8 含 6 个甲硫氨酸, 我们采用 CNBr 裂解, 应裂解为 6 个片段, 分别为 43, 41, 39, 37, 19 和 11。通过用反相  $C_8$  柱进行分离可见有 2 组裂解峰, 见图 4, HPLC 分析一致, 从此也可推算 IFN- $\alpha$ 8 的纯度 > 95%。

### 3 讨论

本文结果表明利用酵母表达的 IFN- $\alpha$ 8 的抗病毒活性高于古巴生产的 IFN- $\alpha$ 2b, 比

活也高,宜于纯化,可看出利用酵母表达的 IFN- $\alpha$  8 比利用大肠杆菌表达的 IFN 要高<sup>[5]</sup>。酵母表达的重组产品在纯化上可采用直接上离子交换柱的方法,即载量大,收率高,避免昂贵的单抗柱,有利于工业生产。

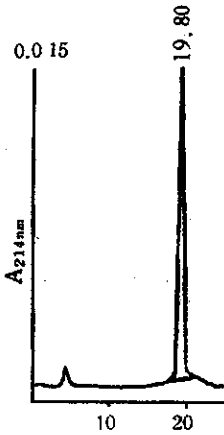


图 3 IFN- $\alpha$  8 高效液相层析洗脱曲线

Fig. 3 HPLC profile of purified IFN- $\alpha$  8



图 4 IFN- $\alpha$  8 的 CNBr 裂解产物肽谱图

Fig. 4 Peptide mapping of IFN- $\alpha$  8 after CNBr cleavage

参 考 文 献

[1] J David gangemi, Janis Lanis, Lanislazdins *et al.* Journal of Interferon Research, 1989, 9:227~237.

[2] Elizaveth Y, David L, Phillip W *et al.* Nucleic Acids Research, 1981, 9(3): 731.

[3] 侯云德. 病毒基因工程的原理和方法, 北京: 人民卫生出版社, 1985, pp. 245~247.

[4] 王海波, 等. 生物工程学报, 1994, 10(1): 50~55.

[5] Andreas M, Gilles V *et al.* J Gene Virol 1986, 67:1633~1643.

[6] OsheRoff P L, Tahqra S M *et al.* Monoclonal Antibodies to a Recombinant Human Leukocyte Interferon (rIFN- $\alpha$  B) Clinical immunology and immunopathology 1984, 30:188~196.

[7] Sambrook, Fritish, Maniatis. Molecular Cloning A Laboratory Manual Second Edition Cold Spring Harbor Laboratory Press 1989.

[8] Allen G. Sequencing of Proteins and Preptides, Elsevier Science Publishers B V 1989.

**Purification and Characterization of Recombinant Human Interferon- $\alpha$  8**

Guo Jia Lu Feng Jin Yongming Qu Hui Wu Dan Lu Deru

(Department of Molecular Genetics of Second Military Medical University, Shanghai 200433)

**Abstract** The recombinant human interferon- $\alpha$  8 (IFN- $\alpha$  8) is expressed by yeast expression system. The expression strain can secreted recombinant interferon- $\alpha$  8 into culture. The culture containing interferon- $\alpha$  8 is ultrafiltrated, concentrated and chromatographed with S Sepphrose FF, DEAE Sepharose FF. The treated sample is desalted by G-25. Then the pure sample is identified by HPLC, SDS-PAGE electrophoresis and peptide map. Two steps purification can obtain high pure interferon- $\alpha$  8. The pure is higher than 95%. The specific antiviral activity of interferon- $\alpha$  8 is  $3.1 \times 10^8$  IU/mg protein.

**Key words** Recombinant human interferon- $\alpha$  8 (rHuIFN- $\alpha$  8), protein purification, peptide map